

Figure 2

Homology Search of the N-terminus (amino acids 3-26)

Haemophilus influenzae	N	Y	H	D	I	V	L	A	L	A	G	V	C	Q	S	A	K	L	V	H	Q	L	SEQ	ID	NO:1	
Pasteurella multocida	N	Y	Y	D	I	T	L	A	L	A	G	V	C	Q	A	A	K	L	V	Q	Q	F	SEQ	ID	NO:2	
Escherichia coli	N	Y	Y	D	I	T	L	A	L	A	G	I	C	Q	S	A	R	L	V	Q	Q	L	SEQ	ID	NO:3	
Vibrio cholerae	A	I	Y	D	R	T	I	A	F	A	G	I	C	Q	A	V	A	L	V	Q	Q	V	SEQ	ID	NO:4	
Buchnera aphidicola	K	I	H	L	I	T	L	S	L	A	G	I	C	Q	S	A	H	L	V	Q	Q	L	SEQ	ID	NO:5	
Pseudomonas aeruginosa	D	P	R	Q	Q	L	I	A	L	G	A	V	F	E	S	A	A	L	V	D	K	L	SEQ	ID	NO:6	
Xylella fastidiosa	L	I	D	N	R	V	L	A	L	A	G	V	V	Q	A	L	Q	Q	V	R	Q	I	SEQ	ID	NO:7	
Rhizobium loti (prot1)	N	L	P	P	I	V	L	A	V	I	G	I	C	A	A	V	F	L	L	Q	Q	Y	SEQ	ID	NO:8	
Human NK-2 RECEPTOR	N	Y	F	I	V	N	L	A	L	A	D	L	C	M	A	A	F	N	A	A	F	N	SEQ	ID	NO:9	
Chlamydia pneumoniae	T	A	F	D	F	N	K	M	L	D	G	V	C	T	Y	V	K	G	V	Q	Q	Y	SEQ	ID	NO:10	
Rhizobium loti (prot2)	R	A	I	L	I	P	L	A	L	A	G	L	C	Q	V	A	R	A	G	D	I	S	SEQ	ID	NO:11	
NprB Bac. Subtilis	M	R	N	L	T	K	T	S	L	L	A	G	L	C	T	A	A	Q	M	V	F	V	T	SEQ	ID	NO:12

Figure 3

Glucose Levels in Mice Following Insulin Translocation Across Epithelial Cell Membranes

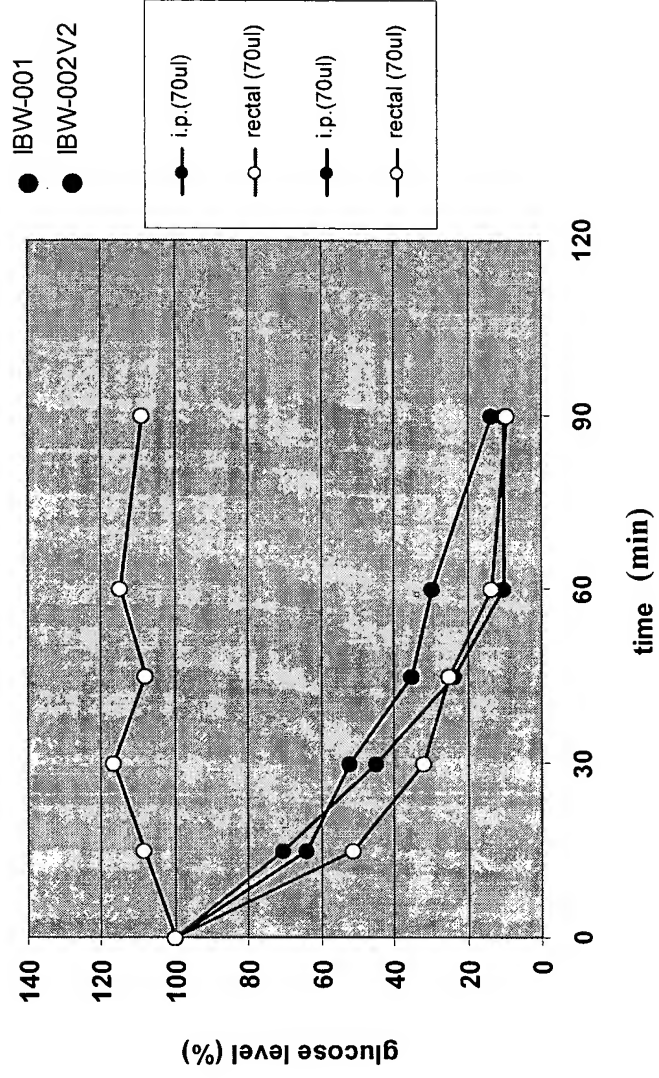


Figure 4

Glucose Levels in Rats Following Insulin Translocation Across Epithelial Cell Membranes

